



**СФБ
ЛАБ**

**Об оценке эффективности защиты от оптических атак на
волоконные квантовые криптографические системы
выработки и распределения ключей**

Дворецкий Д.А., к.т.н., ведущий специалист, СФБ Лаб

Зызыкин А.П., ведущий специалист, СФБ Лаб

Суцев И.С., специалист, СФБ Лаб

Бугай К.Е., специалист, СФБ Лаб

Богданов С.А., специалист, СФБ Лаб

Булавкин Д.С., специалист, СФБ Лаб

Содержание



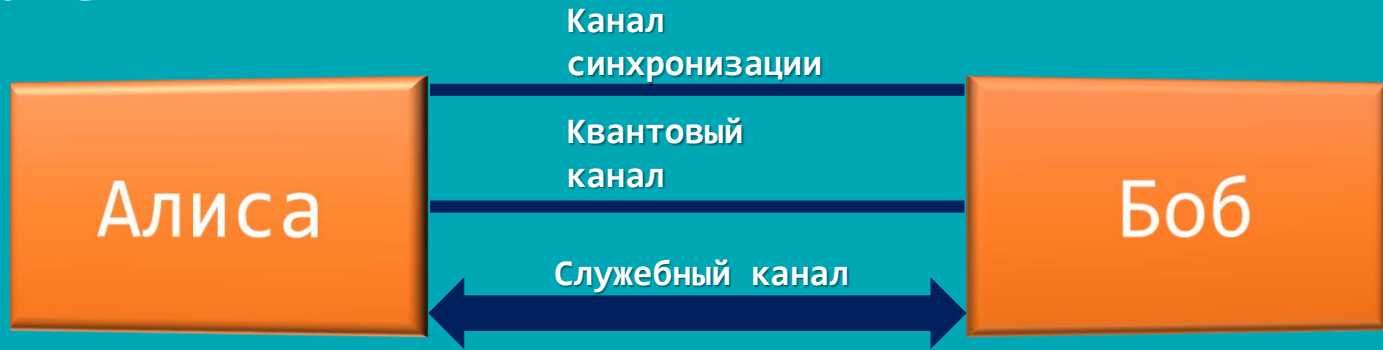
1. Введение
2. Актуальные оптические атаки на КРК
3. Выводы



**СФБ
ЛАБ**

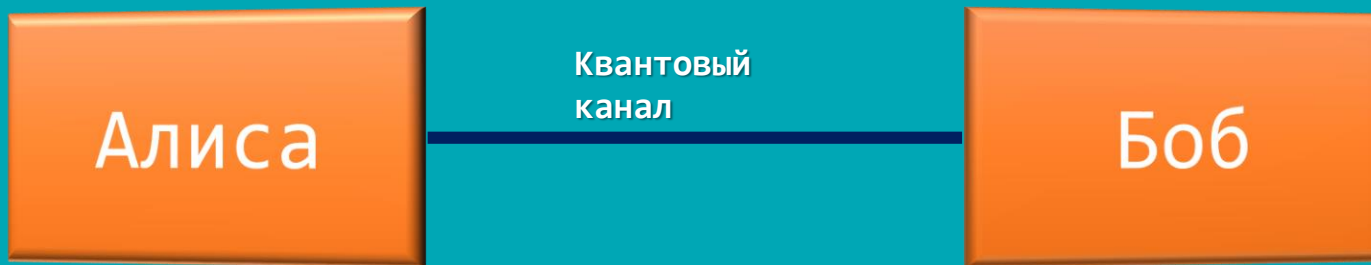
Введение

- Квантовое распределение ключей



Безопасность распределения ключей гарантируется законами квантовой физики

• Квантовое распределение ключей



Атаки на квантовые состояния:

1. PNS – атака с разделением числа фотонов
2. BS – атака со светоделителем
3. Унитарная атака
4. UM – атака с определенным исходом

Оптические атаки на КПК:

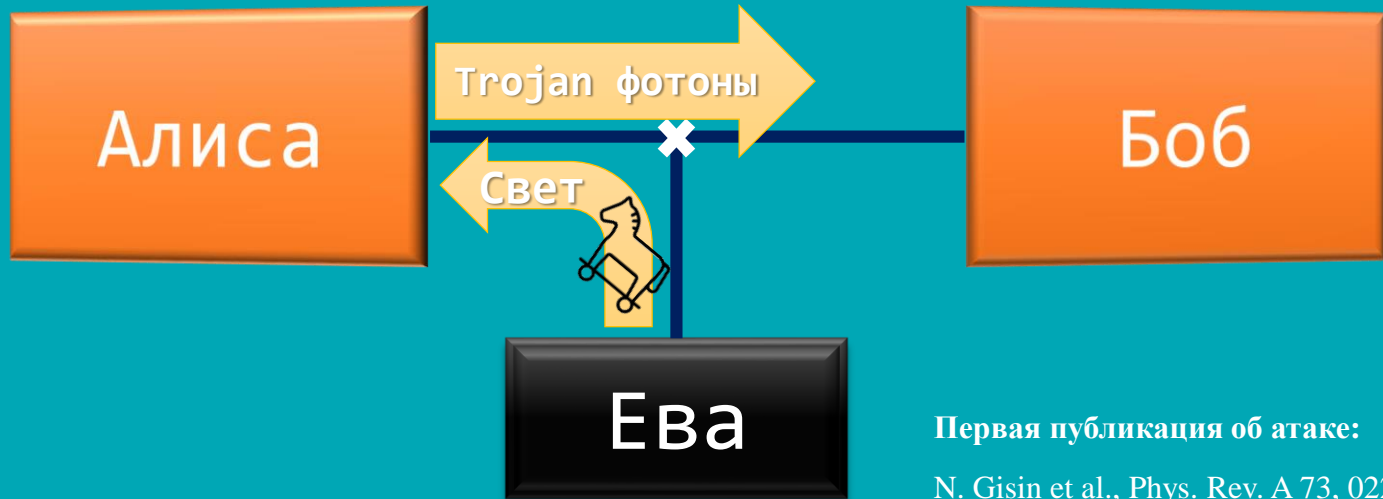
1. Trojan-horse атака
2. Атака с лазерным повреждением компонентов
3. Атака с переизлучением (Backflash) детектора
4. Импульсное и непрерывное ослепление детектора
5. Time-shift атака и Efficiency mismatch атака

Актуальные оптические атаки



Атака «Trojan horse» на активно-модулирующие компоненты

- Отраженные фотоны от модулятора фазы Алисы приводят к возможности распознавания знака ключа

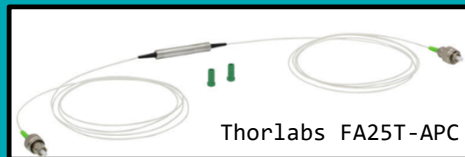


Первая публикация об атаке:

N. Gisin et al., Phys. Rev. A 73, 022320 (2006)

Основные способы борьбы:

- Изоляторы



- Циркуляторы



- Аттенюаторы



- Широкополосные фильтры



Thorlabs IO-H-1550

- Сторожевые детекторы



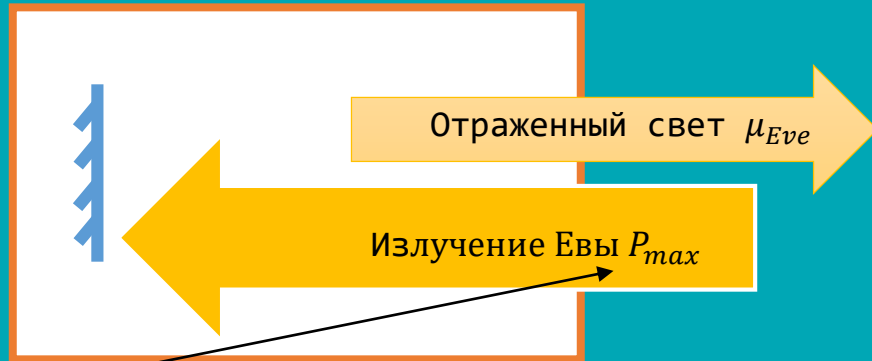
Thorlabs S154C

Оценка рисков атаки

$\mu_{Eve} \ll \mu$ – система защищена!

μ – среднее число фотонов на импульс по протоколу

μ_{Eve} – среднее число фотонов в отраженном импульсе



P_{max} – ограничен мощностью повреждения компонентов или чувствительностью сторожевого детектора

- Для квантового протокола BB84:

$$p_{Eve} = \frac{1}{2} + \frac{1}{2} \sqrt{1 - e^{-2\mu_{Eve}}}$$

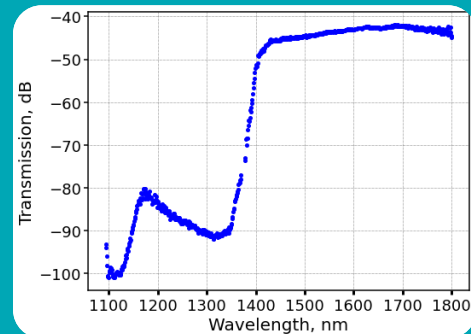
Оценка рисков атаки

$$P_{Eve} [\text{дБм}] = P_{max} [\text{дБм}] + T [\text{дБ}] + R [\text{дБ}] \quad \longrightarrow \quad \mu_{Eve} = \frac{P_{Eve} [\text{Вт}] \lambda}{f h c}$$

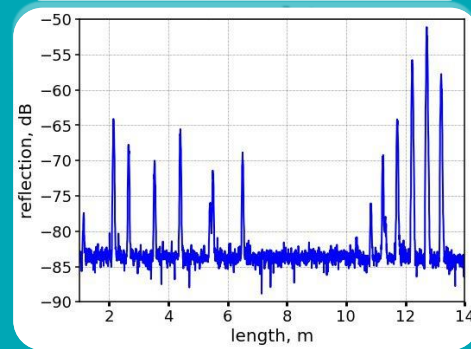
P_{max} – мощность повреждения
компонентов (~ 10 Вт средней мощности)

Huang A. et al. Physical Review Applied, 13, 3, 034017 (2020)

T – измерение спектра пропускания \longrightarrow



R – измерение отражения от системы \longrightarrow



Измерение отражения Боба

Состав рефлектометра:

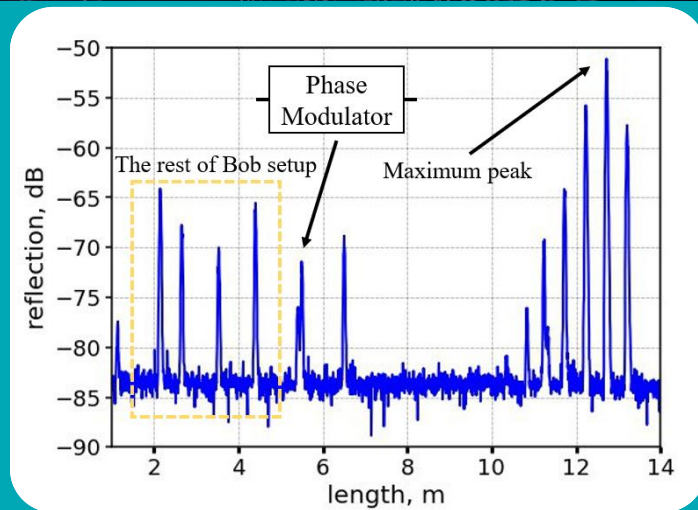
Лазер:

$\lambda = 1550$ нм InGaAs

$\tau = 100$ пс SPAD:

$f = 1$ МГц $\eta = 7\%$

Максимальный пик отражения – поверхность SPAD
Уровень отражения $R \approx -50$ дБ



Оптический рефлектометр

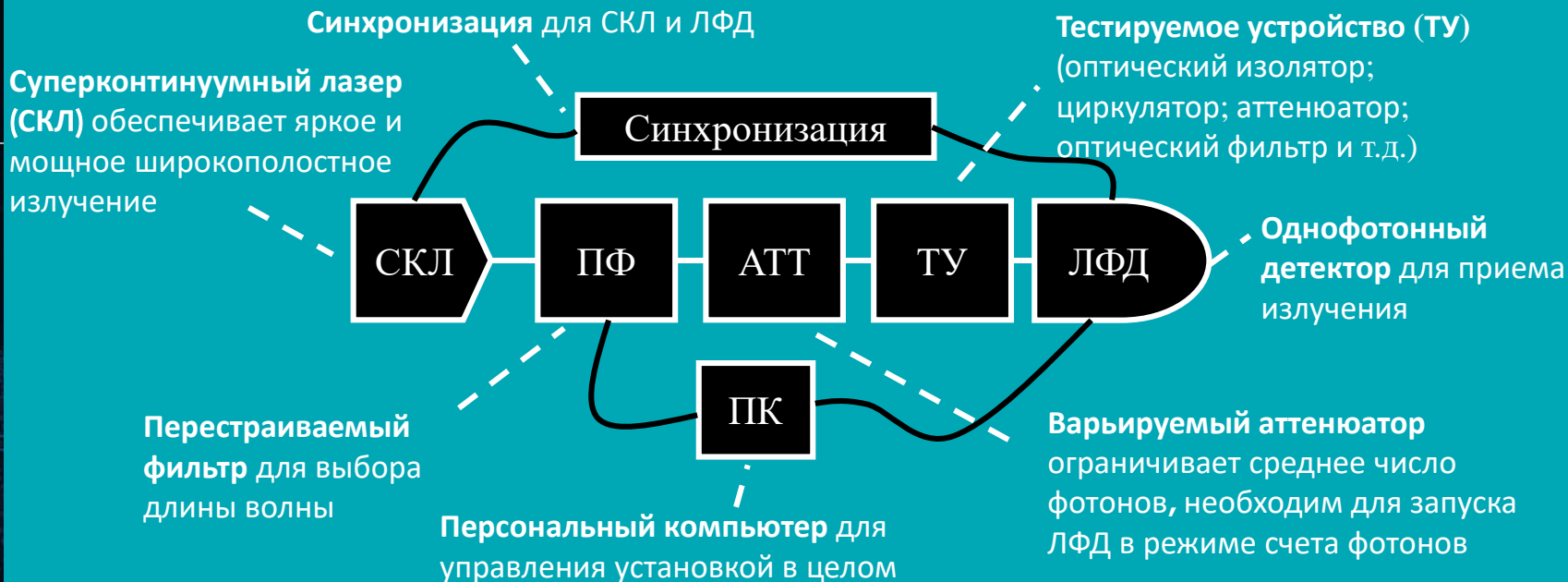


Рефлектограмма рассеяния коммерческой системы КРК (Боб) в отсутствие защиты

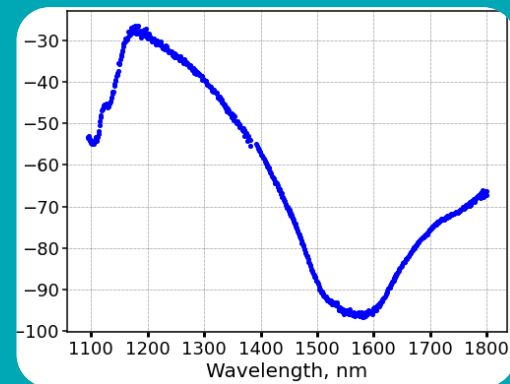
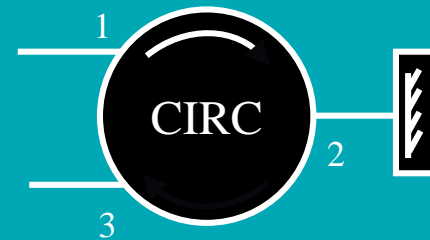
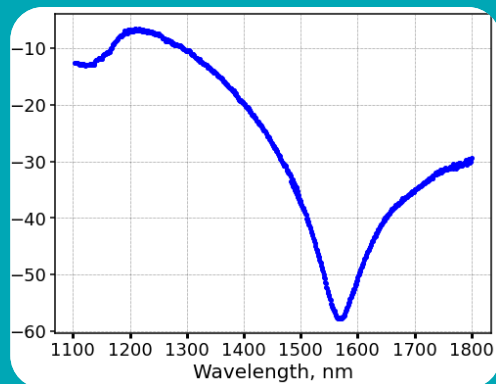
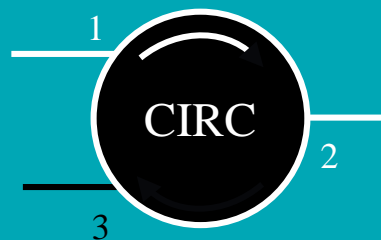
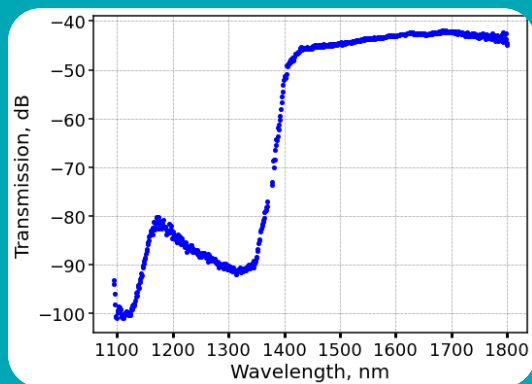
Измерение спектров пропускания

Экспериментальная схема

СФБ
ЛАБ

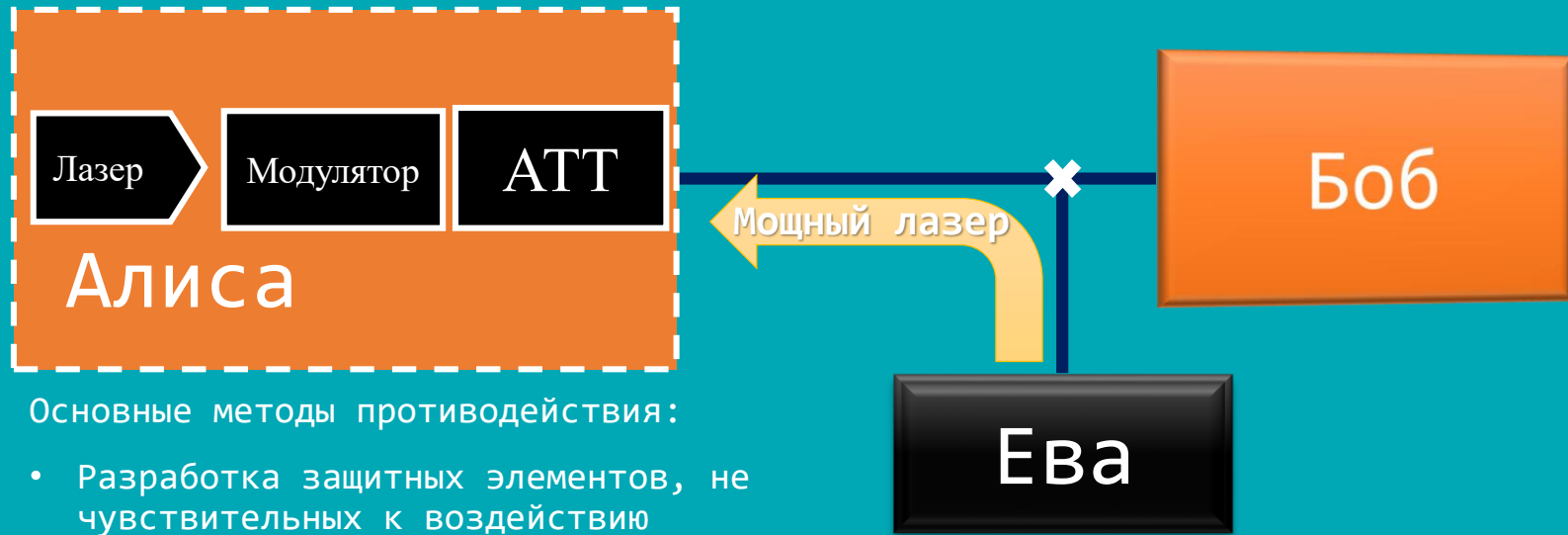


Спектры пропускания в широком спектральном диапазоне



Атака с лазерным повреждением компонентов

- Под действием мощного лазерного излучения attenuator просветляется, что приводит к возможности реализации атак на квантовые состояния и оптических атак



Основные методы противодействия:

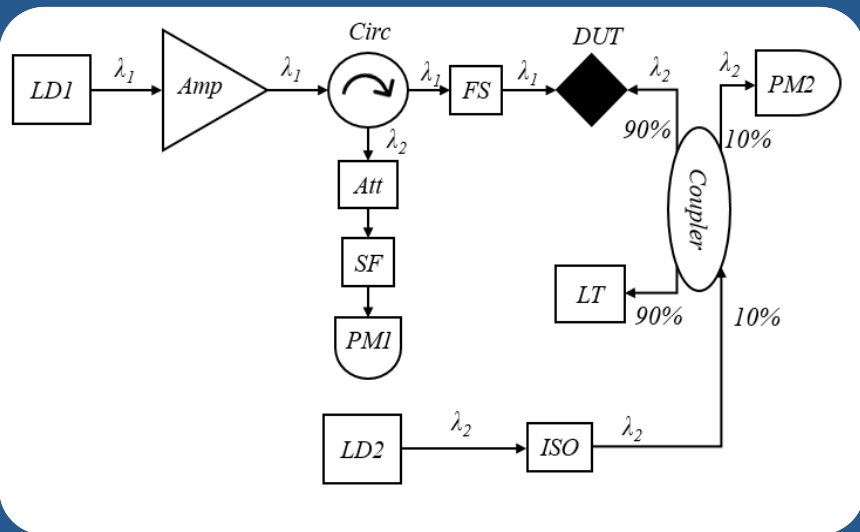
- Разработка защитных элементов, не чувствительных к воздействию
- Сторожевой детектор

Первая публикация об атаке:

Anqi Huang, et.al, Phys. Rev. Applied 13, 034017 (2020)

Атака с лазерным воздействием на простой оптический attenuator (широко используемый в волоконно-оптических системах КРК)

Структурная схема экспериментального стенда



LD1 – λ_1 лазер ; Amp – легированный Эрбием волоконный усилитель, Circ – волоконно-оптический циркулятор; FS – катушка с волокном; Coupler – 90/10 волоконно-оптический разветвитель; PM1, PM2 – измерители мощности; SF – спектральный фильтр, Att – attenuator; ISO – мощный волоконно-оптический изолятор; DUT – тестируемый образец, LD2 – λ_2 лазер; LT – волоконно-оптическая заглушка

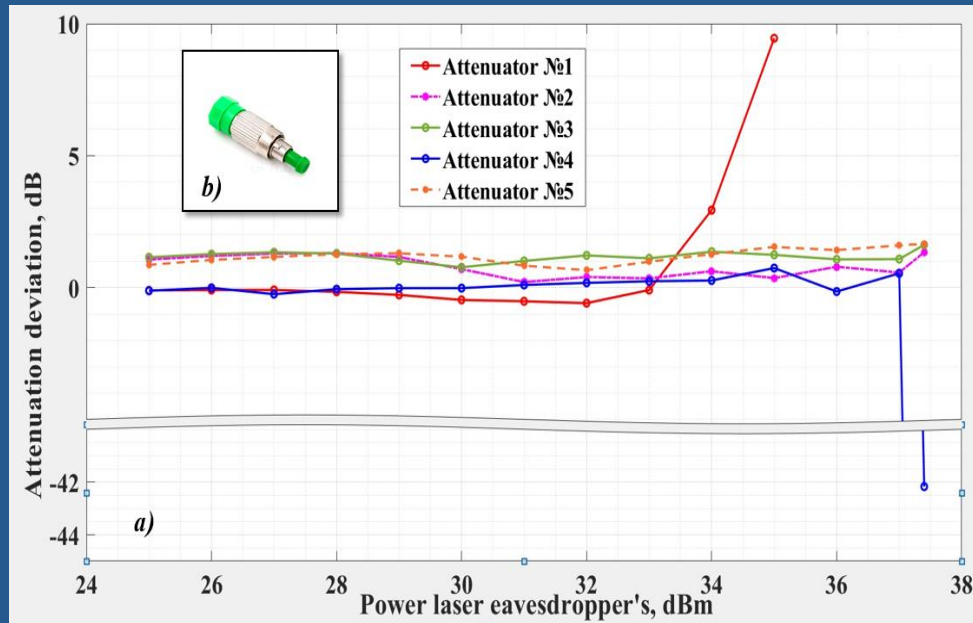
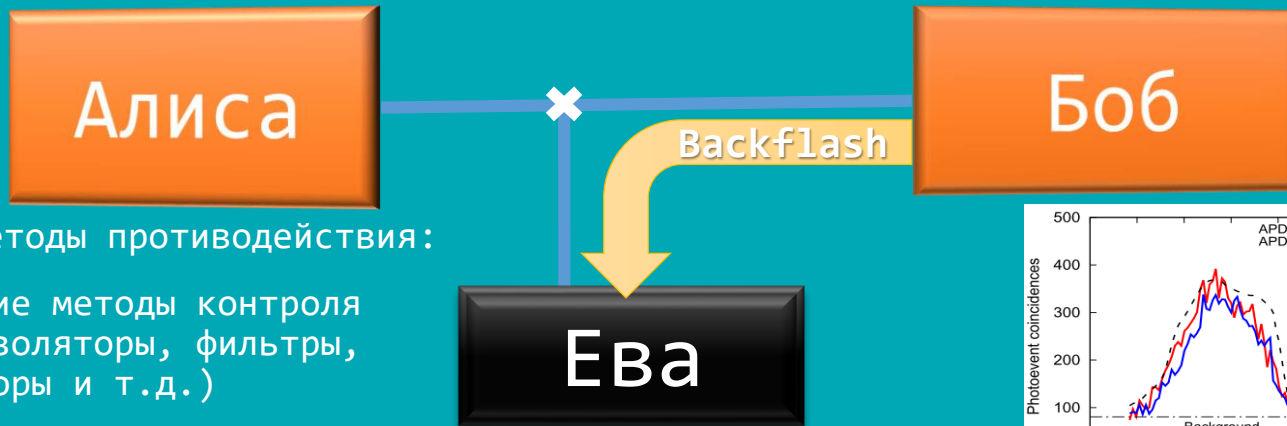


График зависимости изменения поглощения 5 одинаковых attenuatorов на 20 дБ (b) относительно мощности разрушающего лазерного излучения (a)

Подробнее в докладе на конференции:
Bugai K.E., et.al, 20th International Conference Laser Optics, St. Petersburg, 20-24 June, 2022

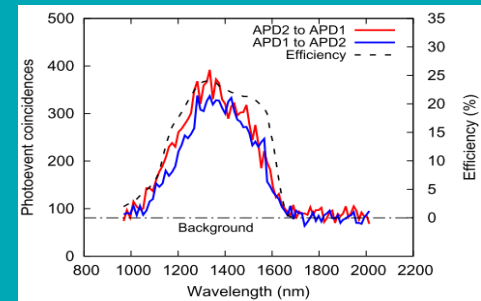
Backflash атака

- При срабатывании однофотонного детектора Боба происходит переизлучение фотонов в квантовый канал
- Например, фотоны пролетевшие оптически для системы с фазовым кодированием несут информацию о фазе квантового состояния
- Вероятность возникновения вспышки не превышает 5% от срабатываний



Основные методы противодействия:

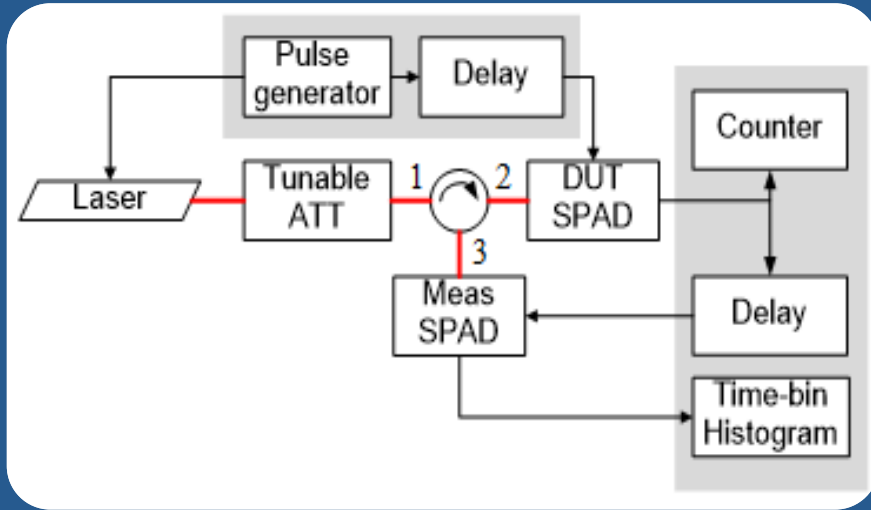
- Оптические методы контроля утечки (изоляторы, фильтры, циркуляторы и т.д.)
- Учет квантовой утечки ключа в протоколе



Первая публикация об атаке:

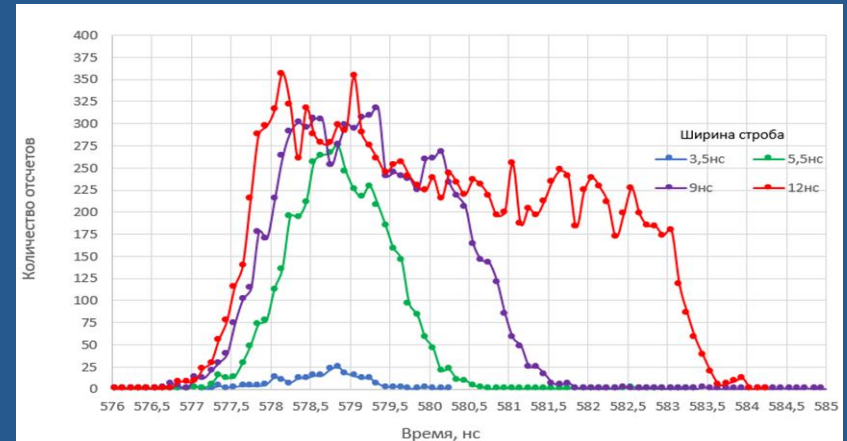
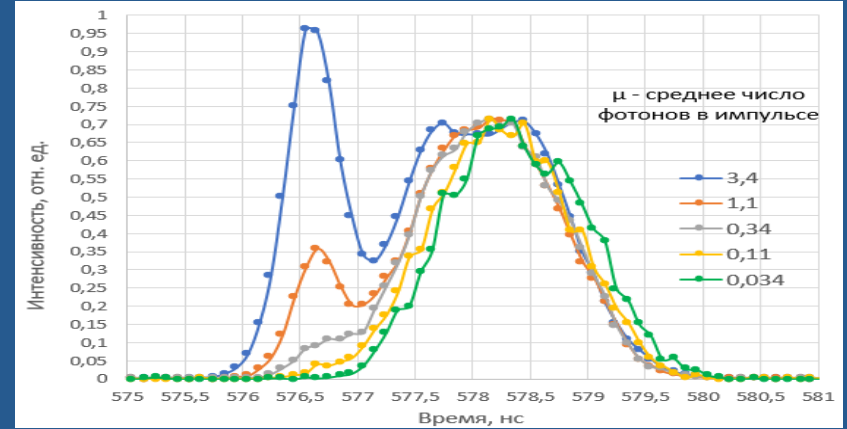
Исследование зависимостей вероятностей «backflash» от параметров ЛФД и среднего числа фотонов в импульсе

Структурная схема экспериментального стенда



Laser – импульсный лазер, ATT – аттенюатор, Meas SPAD – измерительный ЛФД, DUT SPAD – исследуемый ЛФД, Delay – Временной коррелятор для выставления задержек и настройки синхронизации

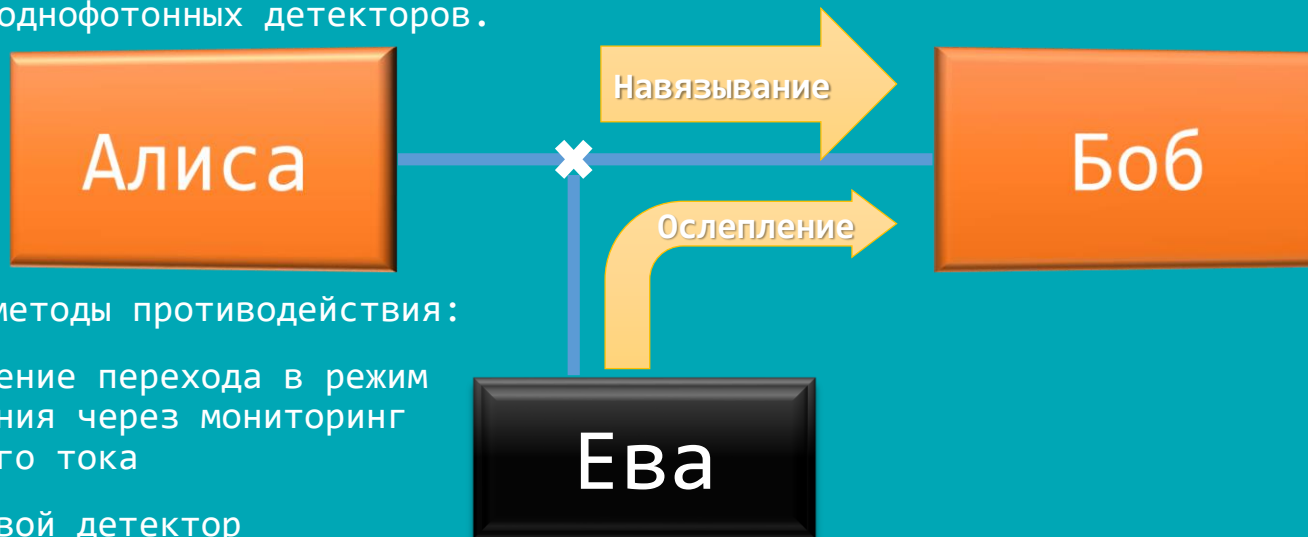
Гистограммы распределения отсчетов измерительного детектора



Подробнее в докладе на конференции:
Bogdanov S.A., et.al, SPIE Photonics Euro 2022, 3 - 7 April, Strasbourg, France

Импульсное и непрерывное ослепление детектора

- Детектор в состоянии ослепления не чувствителен к однофотонной компоненте и может контролироваться Евой;
- Атака приводит к полной компрометации ключа в результате особенности работы однофотонных детекторов.



Основные методы противодействия :

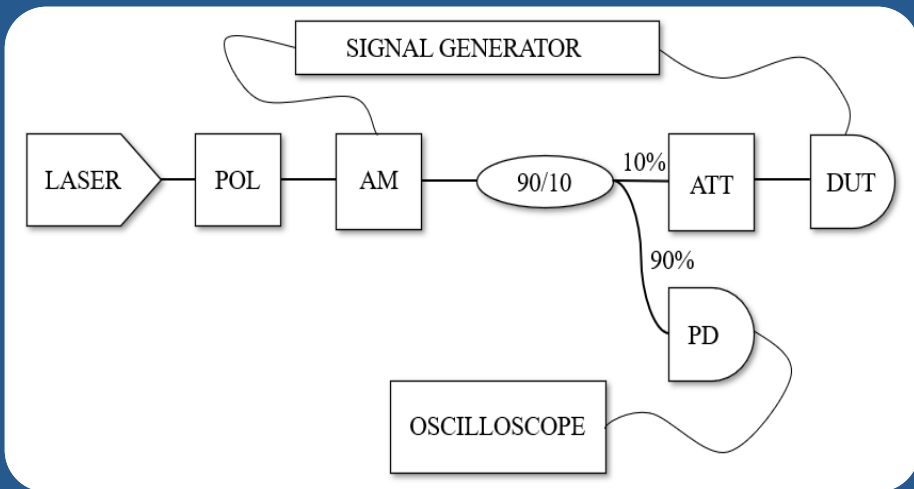
- Обнаружение перехода в режим ослепления через мониторинг лавинного тока
- Сторожевой детектор

Первая публикация об атаке:

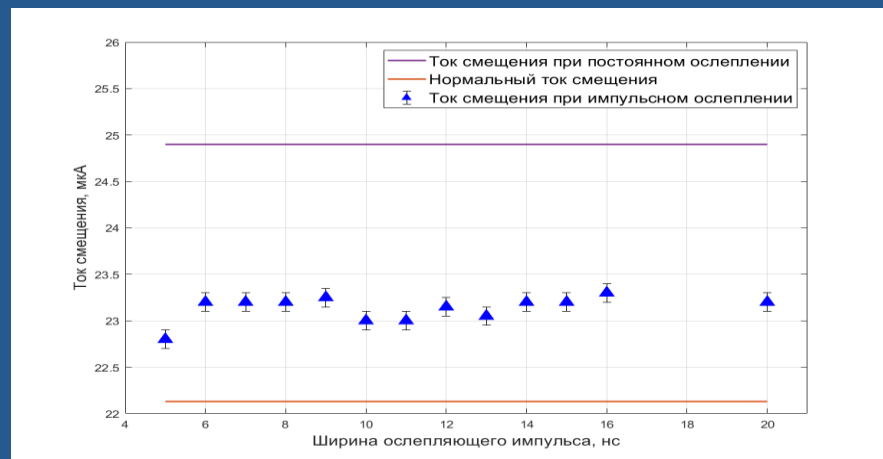
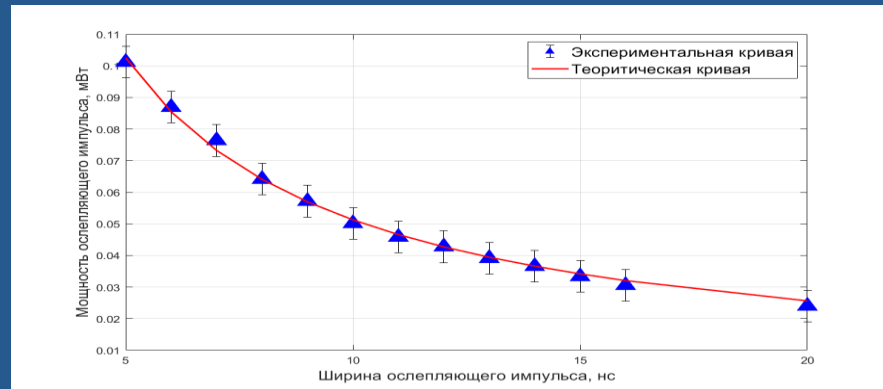
L. Lydersen et al, Nat. Photonics, 4, 686-689 (2010)

Атака с ослеплением ЛФД системы КРК непрерывным и модулированным излучением

Структурная схема экспериментального стенда



Ток смещения в зависимости от ширины ослепляющего импульса



LASER- лазерный источник 1550 нм, POL - поляризатор, AM - амплитудный модулятор, оптический разветвитель 90/10 - 90/10, ATT - аттенюатор, PD - модуль широкополосного фотоприемника 20 ГГц, DUT - однофотонный лавинный диод.

A futuristic digital landscape with server racks and a glowing globe. The scene is dominated by blue and teal tones, with a central glowing globe made of data points and lines. The server racks are arranged in a perspective that leads towards the center, creating a sense of depth. The overall atmosphere is high-tech and data-driven.

**СФБ
ЛАБ**

Выводы

Рассмотрены актуальные оптические атаки на квантовые криптографические системы выработки и распределения ключей



- Продемонстрирован способ оценки защищенности системы КРК против атаки Trojan-horse с учетом оценки рисков в широком спектральном диапазоне
- Продемонстрирована атака с лазерным воздействием на простой оптический attenuator, широко используемый в волоконно-оптических системах КРК
- Представлено исследование зависимостей вероятностей «backlash» от параметров ЛФД и среднего числа фотонов в импульсе
- Продемонстрирована атака с ослеплением ЛФД системы КРК непрерывным и модулированным излучением с оценкой эффективности защиты по току смещения

Вопросы



Спасибо за внимание!



Дворецкий Дмитрий Алексеевич

Ведущий специалист

e-mail: Dmitry.Dvoretzky@sfblaboratory.ru